

# СЛАБАЯ ЛОКАЛИЗАЦИЯ НОСИТЕЛЕЙ ТОКА НА ПОВЕРХНОСТИ ТЕЛЛУРА И ОТРИЦАТЕЛЬНОЕ МАГНЕТОСОПРОТИВЛЕНИЕ

© Н.С.Аверкиев, Г.Е.Пикус

Физико-технический институт им. А.Ф.Иоффе Российской академии наук,  
194021 Санкт-Петербург, Россия  
(Поступила в Редакцию 27 декабря 1995 г.)

Построена теория эффекта отрицательного магнетосопротивления для дырок в теллуре, локализованных у поверхностей (0001) и ( $\bar{1}\bar{2}\bar{1}0$ ), учитывающая как реальную зонную структуру теллура и ее зависимость от ориентации поверхности, так и зависимость матричного элемента рассеяния от начального и конечного квазимпульсов дырок. Результаты теории представлены в форме, допускающей непосредственное сравнение с экспериментальными данными.

Эффект отрицательного магнетосопротивления (ОМС) для дырок, локализованных у поверхности (0001) теллура, был обнаружен в работе [1], а теория была развита в [1,2]. В этом случае нормаль к поверхности  $n$  параллельна оси третьего порядка (ось  $z$ ), а спектр дырок в квантовой яме изотропен. Позднее эффект ОМС был измерен для поверхности ( $10\bar{1}0$ ), когда нормаль к поверхности  $n$  перпендикулярна оси  $z$ . Спектр носителей в этом случае существенно анизотропен, и матричные элементы рассеяния зависят как от начального, так и конечного импульса рассеивающейся дырки даже при рассеянии на короткодействующем потенциале. В работе [3] рассматривалась упрощенная модель, не учитывающая указанных особенностей, и предполагалось, что в такой геометрии в отличие от поверхности (0001) отсутствует тригональное искажение, предсказанное впервые в [4]. Фактически, такое искажение отсутствует лишь для поверхности ( $\bar{1}\bar{2}\bar{1}0$ ), когда нормаль к поверхности параллельна оси второго порядка. В настоящей работе мы рассмотрим два крайних случая: поверхности (0001) и ( $\bar{1}\bar{2}\bar{1}0$ ).

Используя двухзонную модель теллура, развитую в [4,5], мы получим явные выражения для параметров, определяющих спектр дырок в квантовых ямах, и матричных элементов рассеяния. При этом учтем возможное смешивание состояний экстремумов  $M$  и  $P$  в квантовых ямах у поверхности ( $\bar{1}\bar{2}\bar{1}0$ ). Для поверхности (0001) двухзонная модель дает возможность определить соотношения между параметрами, введенными в [1,2]. Для поверхности ( $\bar{1}\bar{2}\bar{1}0$ ) мы получим точное решение уравнения для куперона, учитывающее особенности спектра и матричных элементов рассеяния. Будет рассчитана зависимость этих параметров от концентрации носителей.

# 1. Двухзонная модель

В теллуре экстремумы валентных зон и зоны проводимости расположены в точках  $M$  и  $P$  зоны Бриллюэна, связанных друг с другом операцией инверсии времени.

Для расчета спектра носителей тока и матричных элементов перехода используем двухзонную модель, учитывающую взаимодействие верхних валентных зон  $M'_{1v}$  и  $M'_{2v}$  с зоной проводимости  $M'_{3c}$  и валентной зоной  $M'_{3v}$  (рис. 1). В базисе волновых функций дырок соответствующий гамильтониан имеет вид [4,5]

$$H_M = -\frac{\hbar^2}{2m_0} + L(R_+k_- + R_-k_+) + B_2(J_+^2k_+ + J_-^2k_-) + \Delta_1(1 - J_z\sigma_z) + \Delta(J_+^2\sigma_+ + J_-^2\sigma_-) + \Delta_3(R_+\sigma_- + R_-\sigma_+) + \beta J_zk_z - I_c(E_g + A'_0k_z^2) + A'_vI_vk_z^2 + A''_vJ_z\sigma_zk_z^2. \quad (1)$$

Базисные функции дырок в зонах  $M'_{1v}$  и  $M'_{2v}$  есть  $|3/2\rangle = \Psi_{+1}^1\alpha$  и  $|-3/2\rangle = \Psi_{-1}^1\beta$ , где  $\Psi_{\pm 1}^1 = \mp\frac{1}{\sqrt{2}}(x \pm iy)$ ; в зоне  $M'_{3c}$  —  $S\alpha$  и  $S\beta$ ; в зоне  $M'_{3v}$  —  $|1/2\rangle = \Psi_{+1}^1\beta$  и  $|-1/2\rangle = \Psi_{-1}^1\alpha$ . В (1)  $k_{\pm} = k_x \pm ik_y$ ,  $R_{\pm} = \frac{1}{\sqrt{2}}(R_x \pm iR_y)$ ,  $\sigma_{\pm} = \frac{1}{2}(\sigma_x \pm i\sigma_y)$ ,  $J_{\pm} = \frac{1}{\sqrt{2}}(J_x \pm iJ_y)$ ,  $\sigma_x, \sigma_y, \sigma_z$  — матрицы Паули,  $R_x, R_y$  — матрицы  $2 \times 2$  с ненулевыми элементами  $\langle S|R_x|x\rangle = \langle S|R_y|y\rangle = 1$ ,  $I_c$  и  $I_v$  — единичные матрицы в базисе функций  $S$  и  $\Psi_{\pm 1}^1$  соответственно,  $J_i$  — оператор проекции углового момента с  $J = 1$  в базисе функций  $\Psi_{\pm 1}^1$ ,  $\alpha$  и  $\beta$  — собственные функции  $\sigma_z$ . В (1) не включены несущественные здесь релятивистские слагаемые, описывающие, линейные по  $k$  расщепления спектра зон  $M'_{3c}$  и  $M'_{3v}$ , и релятивистские поправки к другим константам. В точке  $P$ , связанной с  $M$  операцией инверсии времени, оператор  $H_p$  отличается от (1) знаком констант  $\Delta$  и  $B_2$  при нечетных по отношению к инверсии времени членах в (1). Матрица  $H_M$ , соответствующая (1), имеет вид

	$  -1/2 \rangle$	$  1/2 \rangle$	$  3/2 \rangle$	$  -3/2 \rangle$	$  s\alpha \rangle$	$  s\beta \rangle$
$\langle -1/2  $	$2\Delta_1 + \tilde{A}_vk_z^2 - \beta k_z$		$B_2k_-$		$Lk_+$	$\Delta_3$
$\langle 1/2  $		$2\Delta_1 + \tilde{A}_vk_z^2 + \beta k_z$		$B_2k_+$	$-\Delta_3$	$-Lk_-$
$\langle 3/2  $	$B_2k_+$		$A_vk_z^2 + \beta k_z$	$\Delta$	$-Lk_-$	
$\langle -3/2  $		$B_2k_-$	$\Delta$	$A_vk_z^2 - \beta k_z$		$Lk_+$
$\langle s\alpha  $	$Lk_-$	$-\Delta_3$	$-Lk_+$		$-E_g - A_ck_z^2$	
$\langle s\beta  $	$\Delta_3$	$-Lk_+$		$Lk_-$		$-E_g - A_ck_z^2$

Здесь  $A_v = -\frac{\hbar^2}{2m_0} + (A'_v + A''_v)$ ,  $\tilde{A}_v = -\frac{\hbar^2}{2m_0} + (A'_v - A''_v)$ ,  $A_c = +\frac{\hbar^2}{2m_0} + A'_c$ . При расчете матричных элементов рассеяния мы предполагаем, что рассеяние происходит на примесях или дефектах с короткодействующим потенциалом и для всех состояний  $i\mathbf{k}, j\mathbf{k}'$  в одной точке  $M$  или  $P$  матричный элемент  $V_{i\mathbf{k}, j\mathbf{k}'}$  одинаков и равен  $V_0^0 \delta_{ij} e^{i(\mathbf{k}-\mathbf{k}')\mathbf{r}_0}$ , а для переходов

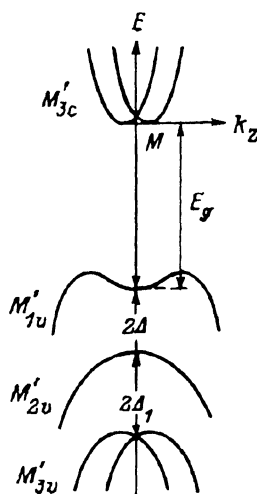


Рис. 1. Зонная схема теллура в окрестности точки  $M$  зоны Бриллюэна.

между состояниями в точках  $P$  и  $M$  матричный элемент отличается заменой  $V_0^0$  на  $V_{PM}^0$ , причем в обоих случаях  $\mathbf{k}$  и  $\mathbf{k}'$  отсчитываются от соответствующей точки экстремума. Значения матричных элементов  $V_0^0$  и  $V_{PM}^0$  зависят (помимо вида потенциала) от места расположения центра. Далее под  $|V_0^0|^2$  и  $|V_{PM}^0|^2$  подразумеваются соответствующие значения, усредненные по всем центрам. При расчете матричных элементов перехода на состояниях  $\Psi_{\mathbf{k}}$ , соответствующих заданной энергии и представляющих собой суперпозицию состояний  $j\mathbf{k}$ , необходимо найти поправку к матричному элементу, отличающуюся знаком в точках  $P$  и  $M$ , так как особенности эффекта ОМС определяются именно такими слагаемыми. Для этого необходимо использовать теорию возмущений до четвертого порядка включительно. Соответствующие вклады, согласно [6], даются общей формулой

$$\begin{aligned}
 H_{mm'} = & H'_{mm'} - \sum_s \frac{H'_{ms} H'_{sm}}{E_s - E_m} + \sum_{s,s'} \frac{H'_{ms} H'_{ss'} H'_{s'm'}}{(E_s - E_m)(E_{s'} - E_m)} - \\
 & - \frac{1}{2} \sum_{m'',s} \frac{H'_{ms} H'_{sm''} H'_{m''m'} + H'_{mm''} H'_{m''s} H'_{sm'}}{(E_s - E_m)^2} - \\
 & - \sum_{s,s's''} \frac{H'_{ms} H'_{ss'} H'_{s's''} H'_{s''m'}}{(E_s - E_m)(E_{s'} - E_m)(E_{s''} - E_m)} + \\
 & + \frac{1}{2} \sum_{s,s'm''} \frac{H'_{mm''} H'_{m''s} H'_{ss'} H'_{s'm} + H'_{ms'} H'_{s's} H'_{sm''} H'_{m''m'}}{(E_s - E_m)(E_{s'} - E_m)} \times \\
 & \times \left( \frac{1}{E_s - E_m} + \frac{1}{E_{s'} - E_m} \right). \tag{2}
 \end{aligned}$$

Здесь  $m, m', m''$  — состояния рассматриваемой зоны ( $M'_1$  и  $M'_2$ ),  $s, s', s''$  — состояния других зон ( $M'_{3c}$  и  $M'_{3u}$ ). Поскольку слагаемые  $\Delta$  и

$\beta k_z$  в (1а) учитываются точно, а не рассматриваются как возмущение, то под  $H'_{mm'}$  в (2) следует понимать только матричные элементы рассеяния, и соответственно в (2) сохранены только члены, содержащие не более одного матричного элемента  $H'_{mm''}$  или  $H'_{m''m'}$ .

## 2. Поверхность (0001)

При  $n \parallel z$  волновая функция в точке  $M$  есть произведение функции  $f(z)$ , зависящей от формы ямы, и функции

$$\Psi_{M,k} = \frac{1}{\sqrt{2}}(|3/2\rangle + | - 3/2\rangle)e^{i(k_x x + k_y y)}, \quad (3)$$

а в точке  $P$  — произведение  $f(z)$  и

$$\Psi_{P,k} = \frac{1}{\sqrt{2}}(|3/2\rangle - | - 3/2\rangle)e^{i(k_x x + k_y y)}. \quad (3a)$$

Указанный выбор знаков соответствует  $\Delta > 0$ , при  $\Delta < 0$  знаки перед блоховскими амплитудами  $| - 3/2\rangle$  обратные. Для краткости соответствующие индексы  $P$  и  $M$  у  $|3/2\rangle$  и  $| - 3/2\rangle$  опущены. Здесь и далее предполагается, что носители заполняют лишь основной уровень размежного квантования.

Спектр дырок с точностью до кубических по  $k$  членов определяется выражением

$$E_M = B_v k_+^2 + \frac{1}{2} \gamma_3 (k_+^3 + k_-^3), \quad (4)$$

где

$$B_v = \frac{L^2}{E_g} - \frac{B_2^2}{2\Delta_1}, \quad \gamma_3 = -\frac{L^2 B_2}{\Delta_1 E_g}. \quad (5)$$

Можно ожидать, что релятивистская константа  $B_2 < L$ , и так как  $\Delta_1 \approx E_g$ , то  $B_v \approx \frac{L^2}{E_g}$ , а  $\gamma_3 \approx -B_v \frac{B_2}{\Delta_1}$ . В точке  $P$  константа  $\gamma_3$  имеет обратный знак. В соответствии с этим гамильтониан  $H$  для обоих экстремумов  $M$  и  $P$  может быть записан в виде

$$H = E_0(k) + \sigma_z \Omega_z, \quad (6)$$

где  $E_0(k) = B_v k^2$ ,  $\Omega_z = \gamma_3 k^3 \cos \varphi_k$ ,  $\sigma_i$  — матрицы Паули  $2 \times 2$  в базисе функций  $\Psi_{M,k}$  и  $\Psi_{P,k}$ ,  $\varphi_k$  — угол между вектором  $k$  и осью  $x$  ( $\bar{1}\bar{2}\bar{1}$ ). Матричный элемент рассеяния в точке  $M$  равен

$$V_{Mk',Mk} = V_0^0 \left\{ 1 + \frac{1}{2} \theta_3 \left[ k'_+ k_+ (k_+ + k'_+) + k'_- k_- (k_- + k'_-) - k_-^3 - k_+^3 - k'_+^3 - k'_-^3 \right] \right\}, \quad (7)$$

где  $\theta_3 = \gamma_3 \frac{2\Delta_1 - E_g}{4\Delta_1 E_g}$ . Если учесть отличие матричных элементов рассеяния для состояний  $M'_{3c}$ ,  $M'_{3v}$  и  $M'_{1,2}$ , то в (7) коэффициент при первых

двоих слагаемых в квадратных скобках будет отличен от единицы. В точке  $P$  параметр  $\theta_3$ , как и  $\gamma_3$ , имеет другой знак. Для переходов между экстремумами  $P$  и  $M$

$$V_{P\mathbf{k}',M\mathbf{k}} = \frac{1}{2} V_{PM}^0 \theta_4(k_+ k'_- - k'_+ k_-), \quad (8)$$

где

$$\theta_4 = \frac{L^2}{E_g^2} - \frac{B_2^2}{(2\Delta_1)^2} \approx \frac{B_v}{E_g}.$$

В (7), (8) не включены члены того же порядка по  $\mathbf{k}$ , содержащие релятивистскую константу  $\Delta_3$ . В соответствии с (7), (8) амплитуда рассеяния  $\Gamma$  в базисе функций  $\Psi_{M,\mathbf{k}}$  и  $\Psi_{P,\mathbf{k}}$  может быть записана в виде

$$\Gamma = \Gamma_0 + \Gamma_z \sigma_z + (\sigma_+ \Gamma_- + \sigma_- \Gamma_+), \quad (9)$$

где

$$\Gamma_0 = V_0^0, \quad \Gamma_z = V_0 \theta_3 k_F^3 \left[ \cos(2\varphi' + \varphi) + \cos(\varphi' + 2\varphi) - \cos 3\varphi - \cos 3\varphi' \right],$$

$$\Gamma_+ = \Gamma_-^* = i V_{PM}^0 \theta_4 k_F^2 \sin(\varphi' - \varphi), \quad \sigma_{\pm} = (\sigma_x \pm i\sigma_y)/2. \quad (10)$$

Здесь учтено, что при упругом рассеянии  $k = k' = k_F$ . Условие инвариантности по отношению к инверсии времени накладывает на матричный элемент четного по отношению к инверсии времени оператора рассеяния требование

$$\langle P, \mathbf{k}' | V | M, \mathbf{k} \rangle = \langle \hat{K}(M, \mathbf{k}) | V | \hat{K}(P, \mathbf{k}') \rangle = -\langle P, -\mathbf{k} | V | M, -\mathbf{k}' \rangle, \quad (11)$$

так как  $\hat{K}\Psi_{M,\mathbf{k}} = \Psi_{P,-\mathbf{k}}$ ,  $\hat{K}\Psi_{P,\mathbf{k}} = -\Psi_{M,-\mathbf{k}}$ , где  $\hat{K}$  — оператор инверсии времени. Аналогично для внутридолинного рассеяния

$$\langle M, \mathbf{k}' | V | M, \mathbf{k} \rangle = \langle P, -\mathbf{k} | V | P, -\mathbf{k}' \rangle. \quad (12)$$

Равенства (9), (10) удовлетворяют этим требованиям. Запись  $H$  и  $\Gamma$  в форме (6) и (9) дает возможность решить уравнение для куперона  $C_{\mathbf{k},\mathbf{k}'}$

$$C_{\mathbf{k},\mathbf{k}'} = N_0 |V_0^0|^2 + N_0 \int \Gamma(\mathbf{k}, \mathbf{g}) \Gamma(-\mathbf{k}, -\mathbf{g}) G^+(\mathbf{g} + \mathbf{q}) G^-(-\mathbf{g}) C_{\mathbf{g},\mathbf{k}}(\mathbf{q}) d^2 \mathbf{g} \quad (13)$$

стандартным образом [7]. Здесь и далее (за исключением окончательной формулы для проводимости) будет использована система единиц, в которой  $\hbar = 1$ . Подставим в (13) значения функций Грина и функций  $\Gamma$  (10)

$$G^+(\mathbf{g} + \mathbf{q}) = \left[ E_F - E_0(\mathbf{g} + \mathbf{q}) - \sigma_z \Omega_z(\mathbf{g}) + i/2\tau_T \right]^{-1}, \quad (14)$$

$$G^-(-\mathbf{g}) = \left[ E_F - E_0(-\mathbf{g}) - \rho_z \Omega_z(-\mathbf{g}) - i/2\tau_T \right]^{-1}, \quad (14a)$$

где

$$\begin{aligned}\tau_{\varphi}^{-1} &= \tau_0^{-1} + \tau_{\varphi}^{-1} + \tau_{-}^{-1} + \tau_v^{-1}, \quad \tau_0^{-1} = 2\pi|V_0^0|^2 N_0 \Omega_0, \\ \tau_{-}^{-1} &= 2\pi|\bar{\Gamma}_z|^2 N_0 \Omega_0, \quad \tau_v^{-1} = 2\pi|\Gamma_+|^2 N_0 \Omega_0,\end{aligned}\quad (15)$$

$\tau_{\varphi}$  — время релаксации фазы,  $N_0$  — двумерная концентрация рассеивающих центров,  $\Omega_0 = (4\pi B_v)^{-1}$  — плотность состояний,  $|\bar{\Gamma}_z|^2 = 2|V_0^0|^2 \theta_3^2 k_F^6$ ,  $|\Gamma_+|^2 = \frac{1}{2} \theta_4^2 |V_{MP}^0|^2 k_F^4$ .

Далее выполним интегрирование по энергии  $E_0(g)$ , разложим знаменатель по параметрам  $vq\tau_0$ ,  $\frac{\tau_0}{\tau_v}$ ,  $\frac{\tau_0}{\tau_-}$  и  $\frac{\tau_0}{\tau_{\varphi}}$  и проинтегрируем по  $\varphi_g$ . Учитывая, что

$$\int \frac{d\varphi_g}{2\pi} \Gamma(\mathbf{k}, \mathbf{g}) \Gamma(-\mathbf{k}, -\mathbf{g}) = |V_0|^2 - |\bar{\Gamma}_z|^2 (\sigma_z \rho_z) - |\bar{\Gamma}_+|^2 (\sigma_+ \rho_- + \sigma_- \rho_+),$$

получим уравнения

$$\hat{H}C(\mathbf{q}) = \frac{1}{2\pi\Omega_0\tau_0^2},$$

$$\hat{H} = Dq^2 + \frac{1}{\tau_{\varphi}} + (1 + \sigma_z \rho_z) \left( 2\bar{\Omega}_z^2 \tau_0 + \frac{1}{\tau_-} \right) + (1 + \sigma_+ \rho_- + \sigma_- \rho_+) \frac{1}{\tau_v}, \quad (16)$$

где  $2\bar{\Omega}_z^2 = \gamma_3^2 k_F^6$ , коэффициент диффузии  $D = v_F^2 \tau_0 / 2$ ,  $v_F$  — скорость носителей на уровне Ферми. Решением уравнения (16) является функция Грина [7]

$$C = \frac{1}{2\pi\Omega_0\tau_0^2} \sum_r \frac{\Psi_r \Psi_r^+}{E_r}, \quad (17)$$

где  $\Psi_r$  — собственная функция (столбец) оператора  $\hat{H}$ , соответствующая собственному значению энергии  $E_r$ . Для определения  $\Psi_r$  и  $E_r$  удобно записать  $\hat{H}$  в базисе собственных функций полного момента  $Y_l^m$ ,  $l = 1, 0$ . При  $l = m = 0$   $\sigma_i \rho_i = -1$  и

$$\hat{H}_0 = Dq^2 + \frac{1}{\tau_{\varphi}}, \quad (18)$$

а при  $l = 1, m = -1, 0, 1$   $\sigma_i \rho_i = 2J_i^2 - 1$  и

$$\hat{H}_1 = Dq^2 + \frac{1}{\tau_{\varphi}} + J_z^2 \frac{1}{\tau_{\gamma}} + (2 - J_z^2) \frac{1}{\tau_v}, \quad (19)$$

где аналогично [1,2] мы ввели обозначение

$$\frac{1}{\tau_{\gamma}} = 2 \left( 2\bar{\Omega}_z^2 \tau_0 + \frac{1}{\tau_-} \right). \quad (20)$$

В магнитном поле  $B$  оператор  $q^2$  заменяется на  $2eB(aa^+ + a^+a)/c$ , где  $a^+$ ,  $a$  — операторы рождения и уничтожения. Тогда собственные значения имеют вид  $Dq_n^2 = \delta(n + 1/2)$ , где  $\delta = 4eDB/c$ . Согласно [7,8], имеем

$$\Delta\sigma = -\frac{e^2}{4\pi^2\hbar} 2\pi\Omega_0\tau_0^2 \delta \sum_{\alpha\beta} C_{\alpha\beta\alpha}^{(n)} = -\frac{e^2\delta}{4\pi^2\hbar} \left( \sum_{\substack{n=0 \\ m=\pm 1, 0}}^{n_{\max}} \frac{1}{E_{mn}^1} - \sum_{n=0}^{n_{\max}} \frac{1}{E_n^0} \right), \quad (21)$$

где  $E_{mn}^1 = \delta(n + 1/2) + \tau_\varphi^{-1} + (2 - m^2)/\tau_v + m^2/\tau_\gamma$ ,  $E_n^0 = \delta(n + 1/2) + \tau_\varphi^{-1}$  — собственные значения операторов (19) и (18) соответственно,  $n_{\max} = (\delta\tau_0)^{-1}$ . В результате получим выражение

$$\Delta\sigma = -\frac{e^2}{4\pi^2\hbar} \left\{ -\Psi\left(\frac{1}{2} + \frac{H_\varphi}{B}\right) + \Psi\left(\frac{1}{2} + \frac{H_\varphi}{B} + 2\frac{H_v}{B}\right) + \right. \\ \left. + 2\Psi\left(\frac{1}{2} + \frac{H_\varphi}{B} + \frac{H_v}{B} + \frac{H_\gamma}{B}\right) - 2\ln\left(\frac{H_{\text{tr}}}{B}\right) - 2C \right\}, \quad (22)$$

где  $\Psi$  — дигамма-функция,  $H_i = \frac{\hbar c}{4eD\tau_i}$ ,  $H_{\text{tr}}$  соответствует  $\tau_i = \tau_0$ ,  $C$  — константа Эйлера. Формула (22) практически совпадает с приведенной ранее Шеланковым [1,2]. Полученные выше выражения для матричных элементов позволяют оценить относительную величину и концентрационную зависимость входящих в нее параметров. Из (7) следует, что отношение  $1/\tau_-/2\bar{\Omega}_z^2\tau_0 \leq (\hbar/\tau_0 E_g)^2$ .

Поскольку при выводе уравнения (16) пренебрегалось поправками более высокого порядка по параметру  $\hbar/\tau_0/E_F$ , а энергия Ферми  $E_F < E_g$ , то ясно, что учитывать  $1/\tau_-$  не следует и надо считать

$$\frac{1}{\tau_\gamma} = 4\bar{\Omega}_z^2\tau_0 = 2\gamma_s^2 k_F^6 \tau_0^2.$$

Согласно (4), (5),

$$\frac{\tau_0}{\tau_\gamma} \approx \frac{E_F^3}{E_g} \left( \frac{B_2}{L} \right)^2 \tau_0^2.$$

Из (8) также видно, что

$$\frac{\tau_0}{\tau_v} \approx \frac{1}{2} \left( \frac{E_F}{E_g} \right)^2 \frac{|V_{MP}^0|^2}{|V_0^0|^2}.$$

### 3. Поверхность (1210)

При нормали к поверхности  $n \parallel x$  волновые функции  $\Psi_M$  и  $\Psi_P$  есть произведения плавной функции  $f(x)$ , зависящей от формы ямы, и функций

$$\Psi_{M,k} = \left( C_1(k_z)|3/2\rangle + C_2(k_z)|-3/2\rangle \right) e^{i(k_z z + k_y y)},$$

$$\Psi_{P,k} = -\hat{K}\Psi_{M,-k} = \left( C_1(k_z)|3/2\rangle - C_2(k_z)|-3/2\rangle \right) e^{i(k_z z + k_y y)}, \quad (23)$$

где

$$C_{1,2}(k_z) = \left( \frac{\varepsilon_k \pm \beta k_z}{2\varepsilon_k} \right)^{1/2}, \quad \varepsilon_k = \sqrt{\Delta^2 + \beta^2 k_z^2}. \quad (24)$$

Как и в (3), здесь опущены индексы блоховских амплитуд  $M$  и  $P$ . Энергия дырок описывается выражением

$$E_0(\mathbf{k}) = A_v k_z^2 - \varepsilon_{\mathbf{k}} + B_v k_y^2 + \Delta. \quad (25)$$

В квантовой яме  $n \parallel x$  с потенциалом  $V(x)$  в отличие от поверхности (0001) должно происходить смешивание состояний  $P$  и  $M$ , аналогичное смешиванию состояний  $(\Delta 00)$  и  $(\bar{\Delta} 00)$  на границе (100) в  $n$ -Si [9]. При учете соответствующего вклада гамильтониана  $\hat{H}$  в базисе функций  $\Psi_{M,\mathbf{k}}$  и  $\Psi_{P,\mathbf{k}}$  согласно (23)–(25), примет вид

$$\hat{H} = E_0(k) + \sigma_x \Omega_x, \quad (26)$$

где

$$\Omega_x = t \frac{\beta k_z}{\varepsilon_{\mathbf{k}}}, \quad t = \int V(x) \varphi_P^* \varphi_M dV,$$

$\varphi_P^*, \varphi_M$  — блоховские функции в верхних валентных зонах в точках  $P$  и  $M$ . Можно ожидать, что из-за большой диэлектрической проницаемости Te при одинаковых поверхностных концентрациях значение  $t$  в теллуре несколько меньше, чем соответствующая константа в  $n$ -Si. Согласно (23), (24) и, (1а) матричный элемент перехода в долине  $M$  равен

$$V_{M,\mathbf{k}';M,\mathbf{k}} = V_0^0 \left\{ \left[ C_1(k'_z) C_1(k_z) + C_2(k'_z) C_2(k_z) \right] - i \theta_5 \left[ C_1(k'_z) C_1(k_z) - C_2(k'_z) C_2(k_z) \right] f(k'_y, k_y) \right\}, \quad (27)$$

где

$$\theta_5 = -\gamma_3 \frac{E_g + 2\Delta_1}{4\Delta_1 E_g}, \quad f(k'_y, k_y) = (k'_y - k_y)(\langle k_x^2 \rangle - k'_y k_y),$$

$\langle k_x^2 \rangle = \int |\nabla \Psi(x)|^2 dx$ ,  $\psi(x)$  — плавная огибающая полной волновой функции дырки. Для экстремума  $P$  константа  $\theta_5$  меняет знак. Для переходов между экстремумами  $P$  и  $M$  имеем

$$V_{P,\mathbf{k}';M,\mathbf{k}} = V_{MP}^0 \left[ C_1(k'_z) C_1(k_z) - C_2(k'_z) C_2(k_z) \right]. \quad (28)$$

В соответствии с (27), (28) в этом случае время ухода равно

$$\frac{1}{\tau_T} = \frac{1}{\tau_0} + \frac{1}{\tau_\varphi} + \frac{1}{\tau_-} + \frac{1}{\tau_v}, \quad (29)$$

где

$$\frac{1}{\tau_0(\mathbf{k})} = \frac{1}{2\tau_0^0} \left( 1 + \nu \frac{\Delta}{\varepsilon_{\mathbf{k}}} \right), \quad \frac{1}{\tau_0^0} = 2\pi N_0 \Omega |V_0^0|^2, \quad (30)$$

$$\nu = \frac{1}{\Omega} \int \rho(\varphi_g) d\varphi_g \frac{\Delta}{\varepsilon_g}. \quad (31)$$

Здесь  $N_0$  — двумерная концентрация рассеивающих центров,  $\rho(\varphi_g)$  — плотность состояний на уровне Ферми в интервале  $d\varphi$ , определяемая условием

$$d^2 g = dE \rho(\varphi_g) d\varphi_g, \quad \Omega = \int \rho(\varphi_g) d\varphi_g.$$

$$\frac{1}{\tau_{-}(\mathbf{k})} = \frac{1}{2} \frac{\theta_5^2}{\tau_0^0} \int \rho(\varphi_g) d\varphi_g \left( 1 - \frac{\Delta^2}{\varepsilon_{\mathbf{k}} \varepsilon_{\mathbf{g}}} \right) f^2(k_y, g_y), \quad (32)$$

$$\frac{1}{\tau_v(\mathbf{k})} = \frac{1}{2} \frac{1}{\tau_{PM}^0} \left( 1 - \nu \frac{\Delta}{\varepsilon_{\mathbf{k}}} \right), \quad \frac{1}{\tau_{PM}^0} = 2\pi N_0 \Omega |V_{PM}^0|^2. \quad (33)$$

Мы также предполагаем, что отношение  $\frac{\tau_0(\mathbf{k})}{\tau_{\varphi}(\mathbf{k})}$  не зависит от  $\mathbf{k}$  и

$$\frac{1}{\tau_{\varphi}(\mathbf{k})} = \frac{1}{2} \frac{1}{\tau_{\varphi}^0} \left( 1 + \nu \frac{\Delta}{\varepsilon_{\mathbf{k}}} \right).$$

Соответственно в этом случае

$$\Gamma(\mathbf{k}, \mathbf{g}) \Gamma(-\mathbf{k}, -\mathbf{g}) = \frac{1}{2} |V_0^0|^2 N \left\{ \left( 1 + \frac{\Delta^2}{\varepsilon_{\mathbf{g}} \varepsilon_{\mathbf{k}}} + \frac{\beta^2 k_z g_z}{\varepsilon_{\mathbf{g}} \varepsilon_{\mathbf{k}}} \right) - \left( 1 - \frac{\Delta^2}{\varepsilon_{\mathbf{g}} \varepsilon_{\mathbf{k}}} + \frac{\beta^2 k_z g_z}{\varepsilon_{\mathbf{g}} \varepsilon_{\mathbf{k}}} \right) \left( \theta_5^2 \sigma_z \rho_z f^2(k_y, g_y) + \frac{|V_{PM}^0|^2}{|V_0^0|^2} (\sigma_+ \rho_- + \sigma_- \rho_+) \right) \right\}. \quad (34)$$

Выполняя, как и выше в (13), интегрирование по энергии и разложение по малым параметрам, получим следующее уравнение для куперона  $C_{\mathbf{k}\mathbf{k}'}(\mathbf{q})$ :

$$\begin{aligned} C_{\mathbf{k}\mathbf{k}'}(\mathbf{q}) &= \frac{1}{2} |V_0^0|^2 N_0 \left( 1 + \frac{\Delta^2}{\varepsilon_{\mathbf{k}} \varepsilon_{\mathbf{k}'}} + \frac{\beta^2 k_z k'_z}{\varepsilon_{\mathbf{k}} \varepsilon_{\mathbf{k}'}} \right) + \\ &+ \frac{1}{\Omega} \int \rho(\varphi_g) d\varphi_g \frac{1}{1 + \nu \frac{\Delta}{\varepsilon_{\mathbf{k}}}} \left\{ \left( 1 + \frac{\Delta^2}{\varepsilon_{\mathbf{g}} \varepsilon_{\mathbf{k}}} + \frac{\beta^2 k_z g_z}{\varepsilon_{\mathbf{g}} \varepsilon_{\mathbf{k}}} \right) \left( 1 - \frac{\tau_0}{\tau_{\varphi}} - \frac{\tau_0}{\tau_v} - \frac{\tau_0}{\tau_-} - \right. \right. \\ &- i(v_z q_z) \tau_0 - i(\sigma_x + \rho_x) \Omega_x \tau_0 - (\mathbf{v} \cdot \mathbf{q})^2 \tau_0^2 - (\sigma_x + \rho_x)^2 \Omega_x^2 \tau_0^2 - \\ &- 2(\sigma_x + \rho_x) \Omega_x v_z q_z \tau_0^2 \left. \right) - \theta_5^2 \sigma_z \rho_z \left( 1 - \frac{\Delta^2}{\varepsilon_{\mathbf{g}} \varepsilon_{\mathbf{k}}} \right) f^2(k_y, g_y) - \\ &\left. \left. - \frac{|V_{PM}^0|^2}{|V_0^0|^2} (\sigma_+ \rho_- + \sigma_- \rho_+) \left( 1 - \frac{\Delta^2}{\varepsilon_{\mathbf{g}} \varepsilon_{\mathbf{k}}} \right) \right\} C_{\mathbf{g}\mathbf{k}'}(\mathbf{q}). \quad (35) \right. \end{aligned}$$

Здесь и далее  $\mathbf{v} = \mathbf{v}(\mathbf{g}) = \nabla_{\mathbf{g}} E_0(\mathbf{g})$  и  $\Omega_x = \Omega_x(\mathbf{g})$ . В (35) мы сразу опустили в последних двух членах слагаемые  $\frac{\beta^2 k_z g_z}{\varepsilon_{\mathbf{g}} \varepsilon_{\mathbf{k}}}$ , обращающиеся в нуль при интегрировании. В отличие от рассмотренного ранее случая  $n \parallel z$  теперь время ухода зависит от  $\mathbf{k}$ . Соответствующее однородное уравнение

$$\frac{1}{\Omega} \int \rho(\varphi_g) d\varphi_g \frac{1 + (\Delta^2 + \beta^2 k_z g_z)/\varepsilon_{\mathbf{g}} \varepsilon_{\mathbf{k}}}{1 + \nu \Delta/\varepsilon_{\mathbf{g}}} C_{\mathbf{g}\mathbf{k}'} = \lambda C_{\mathbf{k}\mathbf{k}'} \quad (36)$$

имеет следующие мультиплитативные собственные функции:

$$C_{\mathbf{k}\mathbf{k}'}^{ij} = \varphi_i(\mathbf{k})\varphi_j(\mathbf{k}'), \quad (37)$$

где

$$\varphi_1(\mathbf{k}) = \frac{1}{2} \left( 1 + \nu \frac{\Delta}{\epsilon_{\mathbf{k}}} \right), \quad \varphi_2(\mathbf{k}) = \frac{1}{2} \left( \nu - \frac{\Delta}{\epsilon_{\mathbf{k}}} \right), \quad \varphi_3(\mathbf{k}) = \frac{\beta k_z}{\epsilon_{\mathbf{k}}}. \quad (38)$$

Этим функциям соответствуют собственные значения  $\lambda_{ij}$ , не зависящие от второго индекса

$$\lambda_{ij} = \lambda_1 = 1, \quad \lambda_{2j} = \lambda_2 = \nu J_1^1 - J_1^2, \quad \lambda_{3j} = \lambda_3 = J_1^0 - J_1^2, \quad (39)$$

где

$$J_m^n = \frac{1}{\Omega} \int \rho(\varphi_k) d\varphi_k \frac{\left(\frac{\Delta}{\epsilon_{\mathbf{k}}}\right)^n}{\left(1 + \nu \frac{\Delta}{\epsilon_{\mathbf{k}}}\right)^m}, \quad J_0^0 = 1, \quad J_0^1 = \nu.$$

Решение уравнения (35) можно искать в виде суммы

$$C_{\mathbf{k}\mathbf{k}'} = \sum_{ij} A_{ij} C_{\mathbf{k}\mathbf{k}'}^{ij}, \quad (40)$$

где  $A_{ij}(\mathbf{q})$  есть матрица  $4 \times 4$  по «спиновым» индексам.

Поскольку неоднородный член в (35) содержит только диагональные компоненты  $C_{\mathbf{k}\mathbf{k}'}^{ii}$ , из которых собственному значению  $\lambda_1 = 1$  соответствует компонента  $C_{\mathbf{k}\mathbf{k}'}^{11}$ , то лишь коэффициент  $A_{11}$  является最大的. Из-за наличия в (35) членов, линейных по  $q_z$  и  $v_z$ , необходимо, как обычно, учесть также вклад  $C_{\mathbf{k}\mathbf{k}'}^{31}$ , выразив вначале  $A_{31}$  через  $A_{11}$ . Согласно (35),

$$A_{31}(J_1^0 - J_1^2 - 1) = i \frac{1}{\Omega} \int \rho(\varphi_g) d\varphi_g \frac{\beta g_z}{\epsilon_{\mathbf{k}}} [v_z q_z + (\sigma_x + \rho_x) \Omega_x] \tau_0(g) A_{11}. \quad (41)$$

Поскольку все компоненты  $C_{\mathbf{k}\mathbf{k}'}^{ij}$ , кроме  $C_{\mathbf{k}\mathbf{k}'}^{11}$ , при усреднении по всем направлениям  $\varphi_{\mathbf{k}}, \varphi_{\mathbf{k}'}$  обращаются в нуль, то далее достаточно подставить (40) в (35), оставив лишь компоненты  $C_{\mathbf{k}\mathbf{k}'}^{11}$  и  $C_{\mathbf{k}\mathbf{k}'}^{31}$ , использовать (41) и проинтегрировать правую и левую части полученного уравнения по  $d\varphi_{\mathbf{k}}$  и  $d\varphi_{\mathbf{k}'}$ . В результате для функции  $A_{11}(\mathbf{q})$ , которую далее обозначаем как  $A$ , получим уравнение

$$\hat{H} A = |V_0^0|^2 N_0 \frac{1}{\tau_0^0}, \quad (42)$$

$$\begin{aligned} \hat{H} = & \left\{ \frac{1}{\tau_{\varphi}} + D_{zz} q_z^2 + D_{yy} q_y^2 + \Omega_i^2 \tau_0^0 (\sigma_x + \rho_x)^2 + \gamma_t \tau_0^0 (\sigma_x + \rho_x) q_z + \right. \\ & \left. + \frac{1}{\tau_v} [1 + (\sigma_+ \rho_- + \sigma_- \rho_+)] + \frac{1}{\tau_-} (1 + \sigma_z \rho_z) \right\}, \end{aligned} \quad (43)$$

где

$$\frac{1}{\tau_\varphi} = \frac{1}{\tau_0^0} \frac{(1 + \nu^2)}{2},$$

$$D_{zz} = 2\beta^2 \tau_0^0 \left\{ \kappa^2 (J_1^{-2} - J_1^0) - 1 + \frac{[\kappa(J_1^{-1} - J_1^1) - 1]^2}{1 - J_1^0 + J_1^2} \right\},$$

$$D_{yy} = 8B_v \tau_0^0 \Delta \left( \left( \frac{E_F}{\Delta} - 1 \right) J_1^0 - \frac{\kappa}{2} (J_1^{-2} - J_1^0) + J_1^{-1} \right),$$

$$\Omega_t^2 = 2t^2 \frac{J_1^0 - J_1^2}{1 - J_1^0 + J_1^2},$$

$$\gamma_t = 4t\beta \frac{\kappa(J_1^{-1} - J_1^1) - (J_1^0 - J_1^2)}{1 - J_1^0 + J_1^2},$$

$$\frac{1}{\tau_v} = \frac{1}{2\tau_{PM}^0} (1 - \nu^2),$$

$$\frac{1}{\tau_-} = \frac{\theta_5^2}{2\tau_0^0} \left( \tilde{J}_{00}^0 - \tilde{J}_{10}^1 \right),$$

$$\tilde{J}_{n0}^n = \frac{1}{\Omega^2} \int \rho(\varphi_{\mathbf{k}}) d\varphi_{\mathbf{k}} \rho(\varphi_{\mathbf{g}}) d\varphi_{\mathbf{g}} \left( \frac{\Delta}{\varphi_{\mathbf{k}}} \right)^n \left( \frac{\Delta}{\varphi_{\mathbf{g}}} \right)^n f^2(k_y, g_y),$$

$$\kappa = 2\Delta A_v / \beta^2. \quad (44)$$

Уравнение (43) по форме совпадает с (16), и его решение может быть записано в форме (17). В базисе собственных функций  $Y_l^m$  для  $l = m = 0$  аналогично слуачаю  $n \parallel z$

$$\hat{H}_0 = \left( \frac{1}{\tau_\varphi} + \bar{D} q'^2 \right). \quad (45)$$

Здесь мы ввели  $\bar{D} = (D_{zz} D_{yy})^{1/2}$  и

$$q'_z = q_z \left( \frac{D_{zz}}{D_{yy}} \right)^{1/2}, \quad q'_y = q_y \left( \frac{D_{yy}}{D_{zz}} \right)^{1/2}.$$

При  $l = 1, m = -1, 0, 1$

$$\hat{H}_1 = \left( \frac{1}{\tau_\varphi} + \bar{D} q'^2 + 4\Omega_t^2 \tau_0^0 J_x^2 + 2\gamma_t' \tau_0^0 J_x q'_z + \frac{1}{\tau_v} (2 - J_z^2) + \frac{1}{\tau_\gamma} J_z^2 \right), \quad (46)$$

где

$$\gamma_t' = \gamma_t \left( \frac{D_{yy}}{D_{zz}} \right)^{1/2}, \quad \frac{1}{\tau_\gamma} = \frac{2}{\tau_-}.$$

Это уравнение отличается от (20) наличием добавочных слагаемых, содержащих  $t J_x q'_z$  и  $t^2 J_x^2$ .

При расчете вклада в проводимость  $\Delta\sigma_{ii}$  наряду с обычным графиком, соответствующим «уходному» члену кинетического уравнения, необходимо учесть и приход [10, 11]. В результате получим следующее выражение:

$$\Delta\sigma_{ii} = -\frac{2e^2}{\hbar} D_{ii} \Omega \tau_0^{02} \sum_{\alpha\beta} \int A_{\alpha\beta\beta\alpha}(\mathbf{q}') d^2\mathbf{q}'. \quad (47)$$

При этом учтено, что, согласно (37),

$$C_{k,-k\alpha\beta\beta\alpha}^0(\mathbf{q}) = \frac{1}{4} A_{\alpha\beta\beta\alpha}(\mathbf{q}) \left(1 + \nu \frac{\Delta}{\epsilon_{\mathbf{k}}}\right)^2.$$

Входящие в (47) величины  $D_{ii}$  совпадают с приведенными в (44).

В магнитном поле  $B$  вместо  $q'_+ = q'_z + iq'_y$  и  $q'_- = q'_z - iq'_y$  можно, как и выше, ввести операторы  $D^{1/2}q'_+ = \delta^{1/2}a$ ,  $\bar{D}^{1/2}q'_- = \delta^{1/2}a^+$ , где  $\delta = \frac{4eB}{\hbar c}\bar{D}$  с матричными элементами  $\langle n-1|a|n\rangle = \langle n|a^+|n-1\rangle = \sqrt{n}$ . Собственные значения  $E_{mn}^1$  соответствующей системы уравнений при  $t \neq 0$  в магнитном поле можно определить лишь численно, аналогично тому, как это сделано в [12, 13]. Аналогично (21)

$$\Delta\sigma_{ii} = -\frac{e^2\delta}{4\pi^2\hbar} \left( \frac{D_{ii}}{\bar{D}} \right) \sum_{n=0}^{n_{\max}} \left( -\frac{1}{E_n^0} + \sum_m \frac{1}{E_{mn}^1} \right). \quad (48)$$

При  $t = 0$  из (48) следует окончательное выражение для  $\Delta\sigma(B)$ , подобное (22),

$$\begin{aligned} \Delta\sigma_{ii} = & -\frac{e^2}{4\pi^2\hbar} \frac{D_{ii}}{\bar{D}} \left\{ -\Psi\left(\frac{1}{2} + \frac{H_\varphi}{B}\right) + \Psi\left(\frac{1}{2} + \frac{H_\varphi}{B} + 2\frac{H_v}{B}\right) + \right. \\ & \left. + 2\Psi\left(\frac{1}{2} + \frac{H_\varphi}{B} + \frac{H_v}{B} + \frac{H_\gamma}{B}\right) - 2\ln\left(\frac{H_{tr}}{B}\right) - 2C \right\}, \end{aligned} \quad (49)$$

где

$$H_i = \frac{\hbar c}{4e\bar{D}\tau_i}, \quad H_{tr} = \frac{\hbar c}{4e\bar{D}\tau_0^0}.$$

Если же, наоборот, сохранить в (46) лишь слагаемые, обусловленные смешиванием состояний  $(\Delta 00)$  и  $(\Delta 00)$ , т.е. содержащие  $\Omega_x$ , положив  $\tau_v^{-1}$  и  $\tau_\gamma^{-1}$  равными нулю, то гамильтониан  $\hat{H}_1$  в базисе собственных функций  $Y_m^1$  оператора  $J_x$  диагонализуется и принимает вид

$$(\hat{H}_1)_{mm} = \frac{1}{\tau_\varphi} + \bar{D}(q_y'^2 + (q_z' + q_0 m)^2) + m^2 \tau_0^0 (4\Omega_t^2 - \gamma_t' q_0), \quad (50)$$

где  $q_0 = \gamma_t' \tau_0^0 / \bar{D}$ . Поскольку условия коммутации операторов  $q'_\pm$  в магнитном поле не меняются при смещении  $q'_z$  на постоянную величину  $q_0 m$ , то не меняются и собственные значения, равные, согласно (48),

$$E_{mn}^1 = \frac{1}{\tau_\varphi} + \delta(n + 1/2) + m^2 \frac{1}{\tau_\Omega}, \quad (51)$$

где

$$\frac{1}{\tau_\Omega} = \tau_0^0 (4\Omega_t^2 - \gamma'_t q_0).$$

Соответственно зависимость  $\sigma(B)$  в этом случае определяется формулой

$$\Delta\sigma_{ii} = -\frac{\epsilon^2}{2\pi^2\hbar} \frac{D_{ii}}{\bar{D}} \left\{ \Psi \left( \frac{1}{2} + \frac{H_\varphi}{B} + \frac{H_\Omega}{B} \right) - \ln \left( \frac{H_{tr}}{B} \right) - C \right\}, \quad (52)$$

где

$$H_\Omega = \frac{\hbar c}{4r\bar{D}\tau_\Omega}.$$

Видно, что в этом случае участок с положительным магнетосопротивлением при малых  $B$  отсутствует.

Заметим, что в [12] при наличии только аналогичных слагаемых спиновая релаксация вообще отсутствовала, так как они вызывали поворот спина, пропорциональный смещению носителя вдоль определенного направления, и на любом замкнутом пути этот поворот равнялся нулю. В данном случае нет прямой пропорциональности между скоростью  $v_z$  и величиной  $\frac{\beta k_z}{\epsilon_k}$  в  $\Omega_x$ , и поэтому угол поворота спина зависит от пути и соответственно  $\tau_\Omega^{-1}$  не обращается в нуль.

Концентрационные зависимости времен релаксации  $\tau_v$  и  $\tau_\gamma$ , а также коэффициентов диффузии  $D_{ii}$  оказываются различными для поверхностей (0001) и (1210). В первом случае, когда ось  $C_3$  перпендикулярна поверхности, согласно (15), (20), имеем  $\tau_v^{-1} \sim p^2$ ,  $\tau_\gamma^{-1} \sim p^3$  и  $D \sim p$ .

Результаты вычислений  $\tau_v^{-1}$  и  $\tau_\gamma^{-1}$  для геометрии (1210) представлены на рис. 2, где показаны зависимости  $\tau_{PM}^0/\tau_v$  и  $\tau_0^0/\theta_S^2\tau_\gamma$  от концентрации дырок в нижней зоне размерного квантования. Подчеркнем, что вопреки утверждениям работы [3] только время  $\tau_v$  определяется междолинными переходами, тогда как время  $\tau_\gamma$  обусловлено различием матричных элементов внутридолинных переходов в долинах  $M$  и  $P$ . Видно, что  $\tau_v^{-1}$  слабо зависит от концентрации, в то время как  $\tau_\gamma^{-1}$  зависит от  $p$ . Для вычисления времени  $\tau_\gamma$  требуется знать среднее значение импульса  $\langle k_x^2 \rangle$  на первом уровне размерного квантования. Поскольку в направлении оси  $x$  спектр носителей в теллуре параболический, мы использовали для  $\langle k_x^2 \rangle$  стандартную формулу [9]

$$\langle k_x^2 \rangle = \frac{1}{4} \left( \frac{33}{4} \frac{\pi e^2 p}{\epsilon_\perp B_v} \right)^{1/3}. \quad (53)$$

Здесь  $\epsilon_\perp$  — диэлектрическая проницаемость теллура. На рис. 3 представлены концентрационные зависимости подвижностей  $\mu_{yy}$  и  $\mu_{zz}$  вычисленные по формулам (44) с использованием соотношений Эйнштейна для вырожденного дырочного газа  $\mu_{ii} = D_{ii} e \frac{\partial p}{\partial E_F}$ . Особенностью этих кривых является различное поведение подвижностей  $\mu_{yy}$  и  $\mu_{zz}$  с ростом концентрации. Подчеркнем, что в отличие от обычного выражения для  $\Delta\sigma_{ii}$  в случае  $C_3 \perp n$  поправка к проводимости содержит

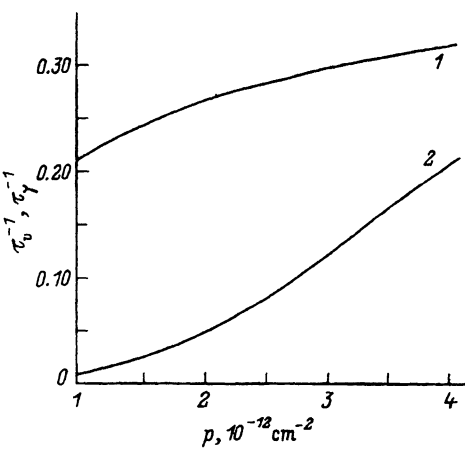


Рис. 2. Зависимость времен  $\tau_v$  и  $\tau_\gamma$  от концентрации дырок на первом уровне размерного квантования  $p$ .

1 —  $\tau_{PM}^0 / \tau_v$ , 2 —  $\tau_0^0 / \theta_5^2 \tau_\gamma$ .

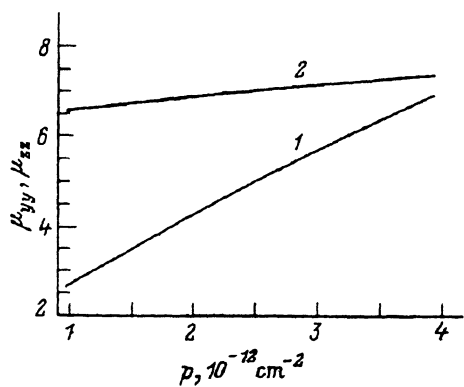


Рис. 3. Концентрационные зависимости подвижностей дырок.

1 —  $\mu_{zz} m_0 / e \tau_0^0$ , 2 —  $\mu_{yy} m_0 / e \tau_0^0$ .

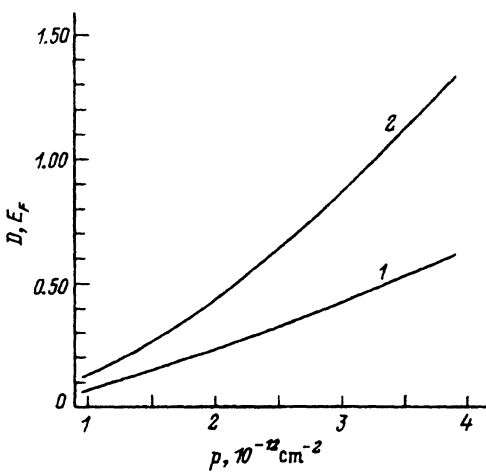


Рис. 4. Зависимость положения уровня Ферми и величины  $\bar{D} = \sqrt{D_{yy} D_{zz}}$  от концентрации дырок  $p$ .

1 —  $E_F / \Delta$ , 2 —  $D \hbar^2 / \beta \sqrt{\Delta \beta_v \tau_0^0}$ .

дополнительный множитель  $\frac{D_{yy}}{\bar{D}}$ , зависящий от концентрации (48), (49), а именно

$$\Delta \sigma_{yy} \sim \frac{D_{yy}}{\bar{D}} = \sqrt{\frac{\mu_{yy}}{\mu_{zz}}}, \quad \text{а} \quad \Delta \sigma_{zz} \sim \frac{D_{zz}}{\bar{D}} = \sqrt{\frac{\mu_{zz}}{\mu_{yy}}}.$$

Зависимость этих величин от концентрации может быть получена из рис. 3. Отметим, что значение коэффициентов диффузии, подвижностей и химического потенциала для поверхностей (1210) и (1010) совпадают. Используя концентрационные зависимости  $\mu_{yy}$  и  $\mu_{zz}$ , можно определить время  $\tau_0^0$  и затем из рис. 2 оценить времена  $\tau_v^{-1}$  и  $\tau_\gamma^{-1}$ . Для сравнения на рис. 4 приведено изменение с  $p$  среднего коэффициента диффузии  $\bar{D}$  и энергии Ферми  $E_F$ . В расчетах принималось  $A_v = 0.363 \cdot 10^{-14} \text{ eV} \cdot \text{cm}^2$ ,  $B_v = 0.326 \cdot 10^{-14} \text{ eV} \cdot \text{cm}^2$ ,  $\Delta = 61.15 \text{ meV}$ ,  $\beta = 2.45 \cdot 10^{-8} \text{ eV} \cdot \text{cm}$ ,  $\kappa = 0.76$ ,  $\varepsilon_\perp = 23.5$ .

В заключение авторы благодарят И.И.Фарбштейна, А.О.Смирнова и В.А.Березовца за полезные дискуссии и Н.И.Саблину за численные расчеты.

Один из авторов (Г.Е.П.) благодарит за поддержку Фонд Дж.Сороса (грант NUB 300). Работа частично выполнена в рамках Российской программы «Физика твердотельных наноструктур» Проект 1-001.

### Список литературы

- [1] Березовец В.А., Фарбштейн И.И., Шеланков А.Л. Письма в ЖЭТФ **39**, 64 (1984).
- [2] Shelankov A.L. Solid State Commun. **33**, 465 (1985).
- [3] Березовец В.А., Лянда-Геллер Ю.Б., Смирнов А.С., Фарбштейн И.И. Письма в ЖЭТФ **58**, 822 (1993).
- [4] Бреслер М.С. и др. ЖЭТФ **57**, 1479 (1969).
- [5] Аверкиев Н.С. и др. ФТП **18**, 4, 639 (1984).
- [6] Бир Г.Л., Пикус Г.Е. Симметрия и деформационные эффекты в полупроводниках. М. (1972).
- [7] Иорданский С.В., Лянда-Геллер Ю.Б., Пикус Г.Е. Письма в ЖЭТФ **60**, 1999 (1994).
- [8] Hikami S., Larkin A.I., Nagaoka X. Progr. Theor. Phys. **63**, 707 (1980).
- [9] Андо Т., Фаулер А., Стерн Ф. Электронные свойства двумерных систем. М. (1985). 415 с.
- [10] Wolfle P., Bahrt R.N. Phys. Rev. **B30**, 3542 (1984).
- [11] Rainer D., Bergmann G. Phys. Rev. **B32**, 3522 (1985).
- [12] Pikus F.G., Pikus G.E. Phys. Rev. **B51**, 16928 (1995).
- [13] Knap W., Skierbiszewski S., Zduniak A., Litwin-Staszewska E., Berto D., Kobi F., Robert J.L., Pikus G.E., Pikus F.G., Lyanda-Geller Y.B., Iordanskii S.V., Mosser V., Zekentes K. Phys. Rev. **B** **53**, 3912 (1996).